



MODULARIZACE VÝUKY EVOLUČNÍ A EKOLOGICKÉ BIOLOGIE
CZ.1.07/2.2.00/15.0204



Jiří Schlaghamerský: Pedobiologie – jaro 2015

Rozklad organické hmoty



INVESTICE DO ROZVOJE VZDĚLÁVÁNÍ

Pedobiologie: Rozklad organické hmoty – opadu z vegetace

Vliv složení (kvality) zdroje na rychlosť rozkladu (decomposition rate)

- Rôzne typy pletiv a tkání sa charakteristicky lišia v rychlosti rozkladu
- To platí pre orgány rastlín i druhotné zdroje ako
 - mikrobiálne buňky
 - trus a těla živočíchov (fyto-, zoo-, saprofágov)

Table 4.1. Turnover of main types of primary resource in forests of differing climates. Wood includes branches (>2 cm diameter) and twigs (<2 cm diameter) but not main stems. Data from Satchell (unpublished) for Meathop Wood, U.K. and Healey & Swift (unpublished) for Barro Colorado Island, Panama.

		Temperate Deciduous Forest			Tropical Rain Forest				
		Leaf	Wood	Reproductive	Leaf	Wood	Reproductive		
		Fall	$\text{kg ha}^{-1} \text{yr}^{-1}$	3240	1580	600	7040	3020	3280
Standing crops			kg ha^{-1}	2010	4810	270	2760	8090	340
	k		yr^{-1}	1.61	0.33	2.22	2.55	0.37	9.65

Pedobiologie: Rozklad organické hmoty – opadu z vegetace

U stejného typu pletiv existují mezidruhové rozdíly v rychlosti rozkladu. V terénních pokusech byly nalezeno rozpětí kdy nejvyšší rychlosť rozkladu byla oproti té nejnižší desetinásobná.

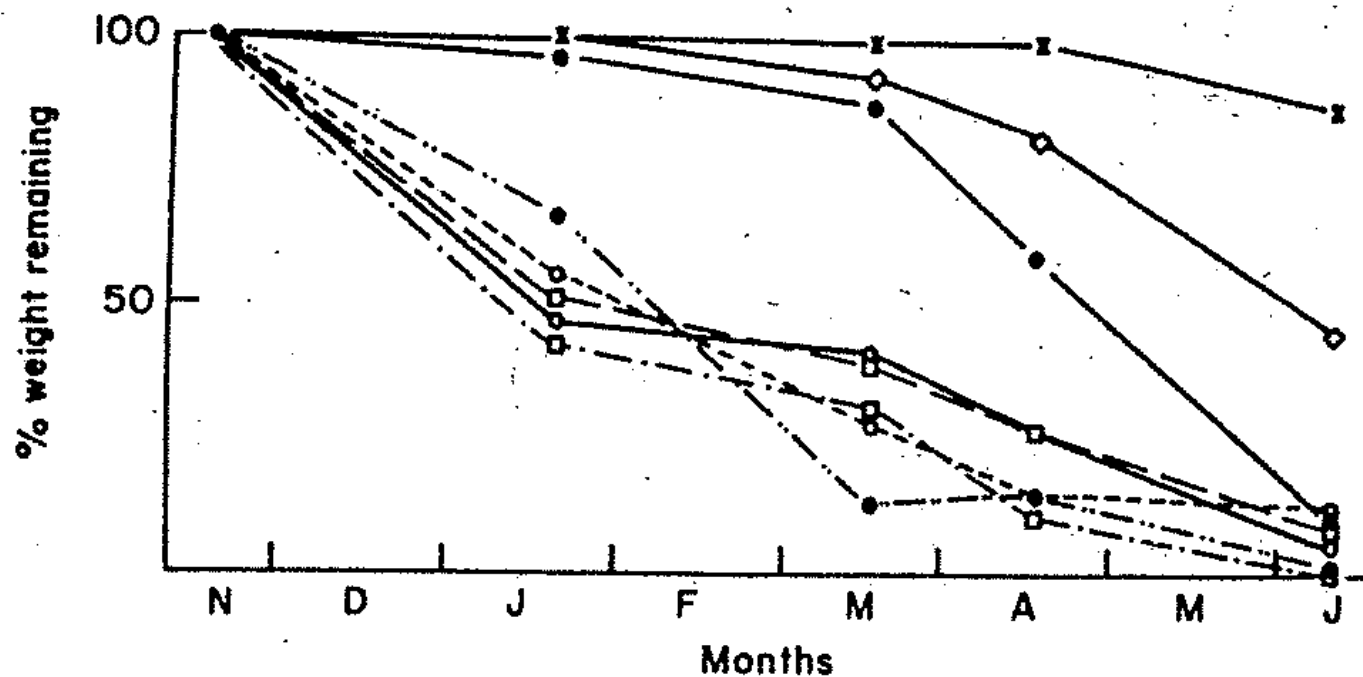


FIG. 4.1. Variation in decomposition of deciduous tree leaf litters in a woodland site on calcareous soil in Belgium. The species are □—□ *Carpinus betulus*, ○—○ *Acer pseudoplatanus*, ●—● *Acer campestre*, ●—● *Prunus avium*, ○-----○ *Fraxinus excelsior*, □-----□ *Tilia platyphyllos*, ◇—◇ *Quercus robur*, *—* *Fagus sylvatica* (from Mommaerts-Billiet 1971).

Pedobiologie: Rozklad organické hmoty – opadu z vegetace

V laboratorním pokusu byl nalezen trojnásobný rozdíl v rychlosti rozkladu s nejpomalejší dekompozicí u mechů a nejrychlejší u opadu listnatých stromů.

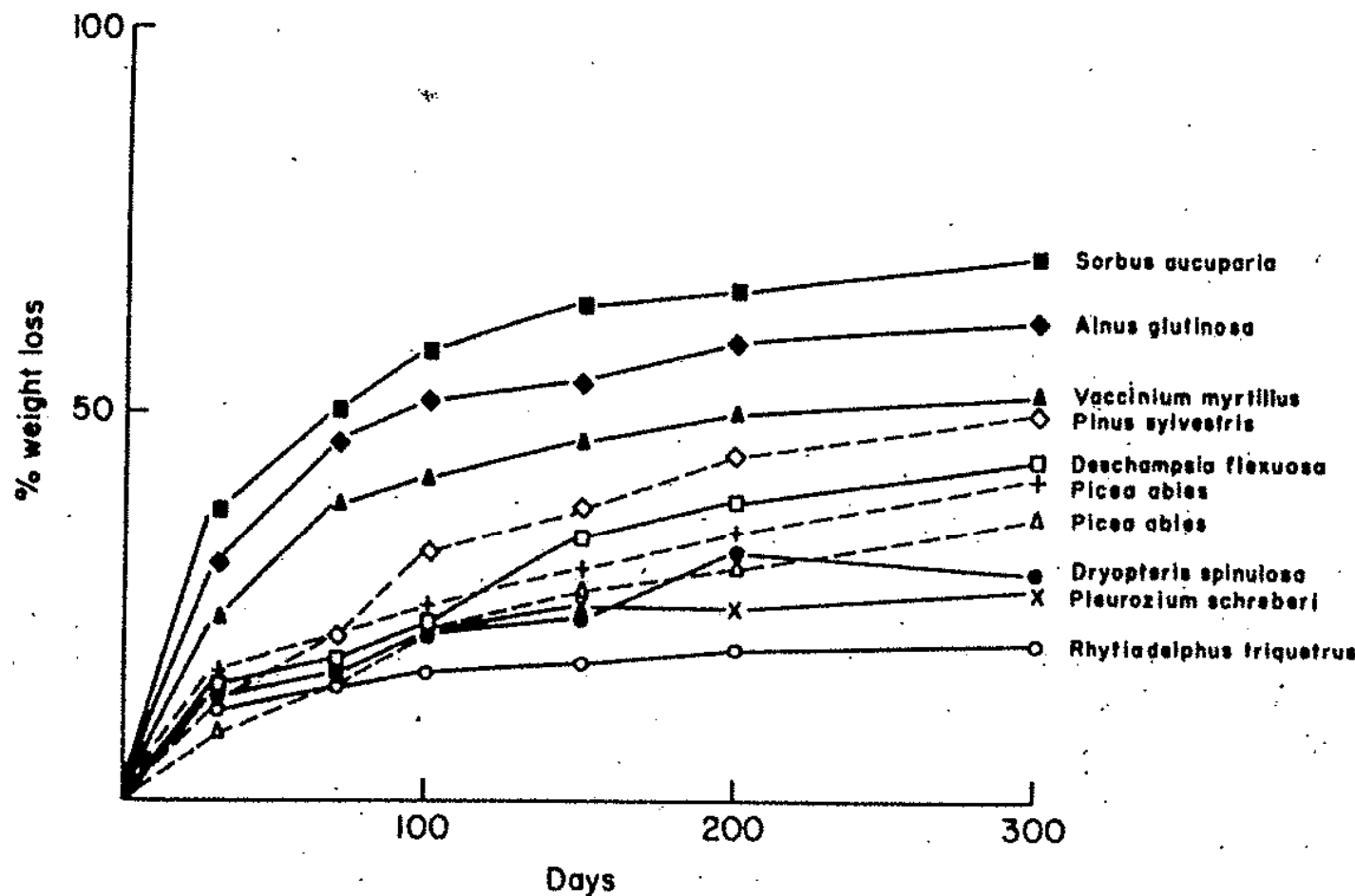


FIG. 4.2. Decomposition of litter of various deciduous and coniferous tree leaves, grasses, dwarf shrubs and cryptogams under laboratory conditions (from Mikola 1955).

Pedobiologie: Rozklad organické hmoty – opadu z vegetace

Dekompozice měřená jako ztráta hmotnosti zahrnuje ztráty dané

- katabolismem,
- vyluhováním,
- odstraněním po rozmělnění.

I pokud jsou tyto procesy hodnoceny zvlášť, zůstávají rychlosti rozkladu specifické pro daný zdroj stále znatelné (viz níže výsledek experimentu s opadovými pytlíky)

Table 4.2. Differences between resources in rate of catabolism and total weight loss. Respiration rate at 10°C and field weight loss after one year for four types of litter on blanket bog (from Heal, Latter & Howson 1978).

Litter type	Respiration $\mu\text{l O}_2 \text{ g}^{-1} \text{ hr}^{-1}$	% loss in weight
<i>Rubus chamaemorus</i> leaves	66 ± 4.3	38 ± 1.6
<i>Eriophorum vaginatum</i> leaves	50 ± 4.2	26 ± 2.1
<i>Calluna vulgaris</i> shoots	33 ± 4.0	15 ± 1.4
<i>Calluna vulgaris</i> stems	11 ± 2.2	8 ± 0.6

Pedobiologie: Rozklad organické hmoty – opadu z vegetace

Rozdíly v průběhu ztrát vyluhováním pravděpodobně odrážejí strukturální rozdíly mezi substráty (níže listy resp. jehlice stromů). Například rozemletí smrkového opadu zvýšilo ztráty vyluhováním za první den cca desetinásobně (simulace rozmělnění půdními živočichy).

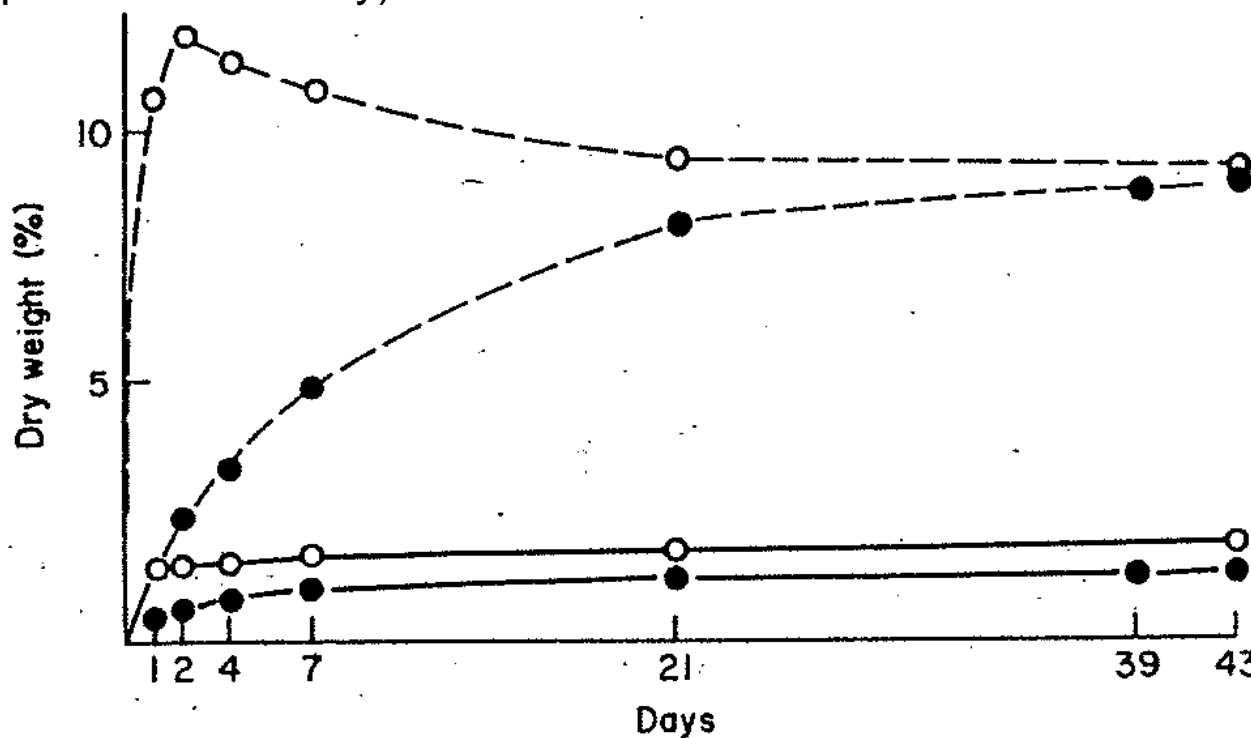


FIG. 4.3. Losses of water soluble organic (---) and inorganic (—) material from *Betula* (○) and *Picea* (●) leaf litter during leaching under anaerobic conditions at 25°C. Results are the dry weight of leachate expressed as a percentage of litter dry weight, each point being a mean of three samples (from Nykvist 1961a).

Pedobiologie: Rozklad organické hmoty – opadu z vegetace

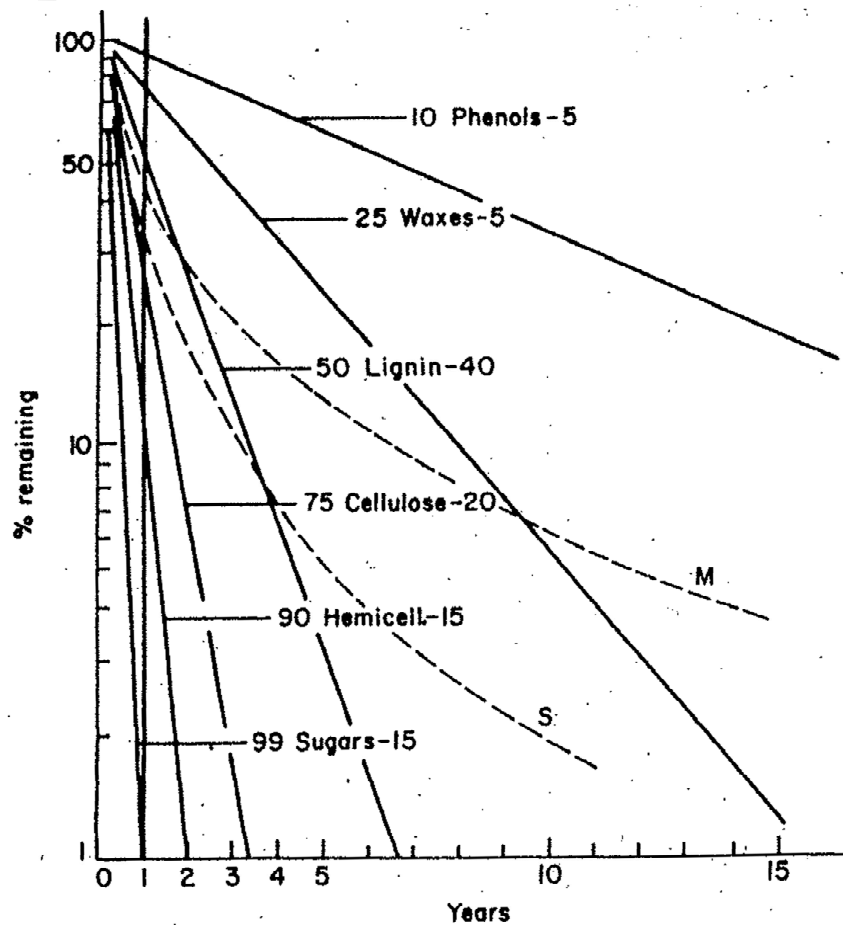


FIG. 4.4. The decomposition curves of the various groups of constituents, if their decomposition could be represented by a logarithmic function (the straight lines from the point 100%). The number in front of the name of the constituent indicates the loss after one year. The number after the constituent represents its percentage in weight of the original litter (these values are rough averages and they do not represent a specific analysis). The line *S* shows the summation curve obtained by annual summation of the residual values of the separate components. The line *M* gives an approximation, based on some analyses, of the probable course of the decomposition of similar resources in the mor-type at Hackfort (from Minderma 1968).

- U přírodního, komplexního zdroje odráží celková ztráta hmotnosti souhrn dekompozičních křivek jednotlivých frakcí substrátu (teoretická křivka S v grafu).
- Interakce mezi komponentami (případně vznik nových) mají za důsledek vyšší odolnost vůči rozkladu než by se dalo předpovědět na základě rozkladu jednotlivých komponent (jak ukazuje křivka M v grafu).

Pedobiologie: Rozklad organické hmoty – opadu z vegetace

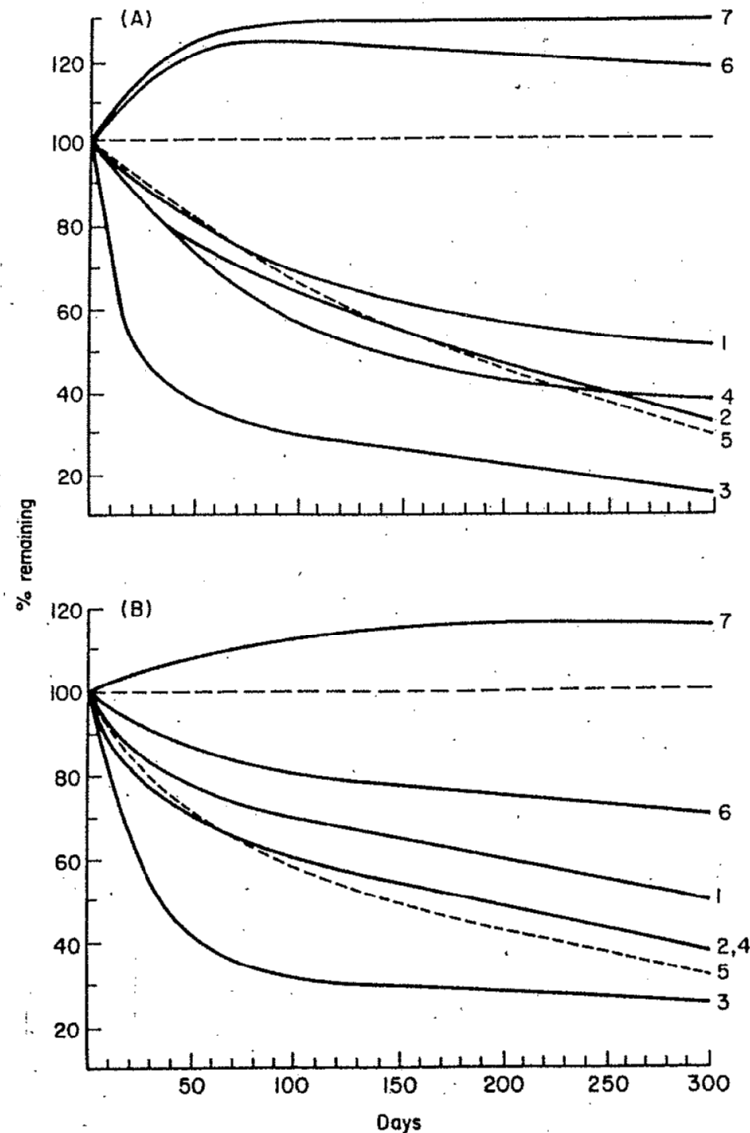


FIG. 4.5. Decomposition of the component substrates of leaf litters of (A) *Pinus* and (B) *Betula* under laboratory conditions (Mikola 1955). (1) Total weight; (2) Ether and alcohol soluble; (3) Water soluble; (4) Hemicelluloses; (5) Cellulose; (6) Lignin; (7) Crude protein.

- Ztráta hmotnosti celkového opadu a většiny jeho komponent se blíží záporné exponenciální funkci.
- Nárůst celkových bílkovin a ligninu: růst mikroorganismů, fixace dusíku, v případě ligninu případně změna účinnosti extrakce v důsledku změn ve struktuře rozkládající se hmoty nebo syntézí látek podobných ligninu mikroorganismy (extrahovaných v ligninové frakci).

Pedobiologie: Rozklad organické hmoty – opadu z vegetace

Zdroje uhlíku a energie – potřeby rozkladačů

- Největší kvantitativní potřeba: energie uvolňovaná z organických látek a uhlík k syntéze tkání (pletiv, buněk).
- Rostliná pletiva – vysoký podíl polysacharidů
vs živočišné tkáně – vysoký obsah bílkovin a tuků
- Mikroorganismy: složení buněk se do značné míry řídí složením potravního zdroje!
- Vysoká potřeba N: může vést k imobilizaci N v mikrofloře pokud má potravní zdroj příliš vysoký poměr C/N.
- Přesto ukazují nové studie, že např. žížaly jsou limitovány obsahem C v potravě.

Pedobiologie: Rozklad organické hmoty – opadu z vegetace

Table 4.6. Major organic components (carbon and energy substrates) of decomposer resources.

	Deciduous leaf —young	Deciduous leaf —old	Conifer needle —old	Grass leaf	Grass stem	Deciduous wood
	<i>Quercus</i> sp. (1)	<i>Quercus</i> sp. (1)	<i>Pinus</i> sp. (1)	<i>Deschampsia</i> <i>flexuosa</i> (2)	<i>Zea</i> <i>mais</i> (1)	Range (3)
Lipid, ether soluble	8	4	24	2	2	2–6
Storage/metabolic carbohydrate, water soluble (cold and hot)	22	15	7	13	15	1–2
Cell wall polysaccharide, hemicellulose (alkali soluble)	13	16	19	24	18	19–24
Cellulose (strong acid)	16	18	16	33	30	45–48
Lignin, residue	21	30	23	14	11	17–26
Protein, N × 6.25	9	3	2	2	1	—
Ash, incineration	6	5	2	—	8	0.3–1.1

	Conifer wood	Faeces invertebrate	Faeces vertebrate	Bacteria	Fungi	Earthworm	Arthropods	Vertebrate carcass
	Range (3)	<i>Glomeris</i> <i>marginata</i> (4)	Horse (1)	Range (5)	Range (7)	<i>Lumbricus</i> <i>terrestris</i> (7)	Various	Steer (11)
Lipid, ether soluble	3–10	—	2	10–35	1–42	2–17	13–26 ⁽⁸⁾ (glycogen)	50
Storage/metabolic carbohydrate, water soluble (cold and hot)	2–8	2	5	5–30	8–60 (chitin)	11–17	14–31 ⁽⁸⁾ (chitin) ⁽⁹⁾	?
Cell wall polysaccharide, hemicellulose (alkali soluble)	13–17	—	24	4–32	2–15	—	5–9 ⁽⁸⁾	0
Cellulose (strong acid)	48–55	38	28	—	—	—	—	0
Lignin, residue	23–30	?	14	0	0	0	0	0
Protein, N × 6.25	—	11	7	50–60	14–52	54–72	38–50 ⁽¹⁰⁾	39
Ash, incineration	0.2–0.5	8	9	5–15	5–12	9–23	?	11

Sources: (1) Waksman (1952); (2) Mikola (1955); (3) Browning (1963); (4) Nicholson *et al.* (1966); (5) Luria (1960)—from laboratory cultures; (6) Compiled from Cochrane (1958) and Hawker (1950)—from laboratory cultures; (7) Laverack (1963); (8) Spector (1956) *Gasterophilus intestinalis* larva; (9) Jeuniaux (1971) suggests chitin contents in adult arthropods may exceed 50%; (10) Calculated from range of N contents in final four rows of Table 4.10; (11) Giese (1962).

Pedobiologie: Rozklad organické hmoty – opadu z vegetace

V absolutních hodnotách jsou ztráty hmotnosti u polysacharidů vysoké, celková dekompozice bude určována rozkladem sacharidů buněčných stěn.

Table 4.7. The fraction of individual organic components lost during decomposition, and the contribution of each component to the total weight loss (from Swift 1976 after Tenney & Waksman 1929).

	Corn stalk ¹			Oak leaf ²		
	Fraction lost	Actual weight lost (g)	Fraction of total loss	Fraction lost	Actual weight lost (g)	Fraction of total loss
Dry matter	0.36	74.0	1.00	0.22	50.0	1.00
Ether soluble	0.30	1.1	0.02	0.26	2.1	0.04
Cold water soluble	0.80	17.1	0.23	0.81	15.0	0.30
Hot water soluble	0.55	4.0	0.05	0.46	5.8	0.12
Cellulose	0.44	26.2	0.35	0.34	10.4	0.21
Hemicellulose	0.41	14.7	0.20	0.27	7.9	0.16
Lignin	0.00	0.0	0.00	0.00	0.0	0.00

¹ Loss after 27 days; original weight 203 g.

² Loss after 66 days; original weight 223 g.

Pedobiologie: Rozklad organické hmoty – opadu z vegetace

Přítomnost ligninu zpomaluje rozklad celulózy.

Table 4.8. The effect of lignin content on the ability of bacteria to decompose cellulose associated with it. Decomposition over a 21-day period of cellulose complexed with differing amounts of lignin prepared by extraction of lignin from jute by monoethanolamine treatment for varying times; the test organism was *Pseudomonas ephemeroxyanea*. (Fuller & Norman 1943).

Cellulose content (%)	Lignin content (%)	% of cellulose decomposed
99.2	0.0	100.0
95.5	3.3	95.6
89.2	5.3	83.1
82.7	11.9	37.9
75.6	12.6	17.7

Pedobiologie: Rozklad organické hmoty – opadu z vegetace

Obsah živin v primárních zdrojích a v rozkladačích

Table 4.10. Nutrient element composition of primary resources and decomposers (% dry weight). All leaf material after litter fall; root and wood from living plants. Sources: (1) Daubenmire & Prusso (1963); (2) Heal, Latter & Howson (1978); (3) Allen *et al.* (1974); (4) Frankland *et al.* (1978); (5) Crumack *et al.* (1975); (6) Swift (1977b); (7) Stark (1973); (8) Luria (1960); (9) Ausmus & Witkamp (1973) quoted by (10) McBrayer *et al.* (1974).

Primary resource	Species	Source	N	P	K	Ca	Mg
Deciduous leaf	<i>Populus tremuloides</i>	(1)	0.56	0.15	0.60	2.35	
	<i>Betula papyrifera</i>	(1)	0.58	0.32	0.78	1.71	
Conifer leaf	<i>Abies concolor</i>	(1)	0.69	0.09	0.30	1.18	
	<i>Pinus contorta</i>	(1)	0.51	0.04	0.15	0.55	
Sedge leaf	<i>Eriophorum vaginatum</i>	(2)	0.97	0.04	0.09	0.20	0.08
	<i>Nardus stricta</i>	(2)	0.53	0.03	0.10	0.08	0.08
Herb leaf	<i>Rubus chamaemorus</i>	(2)	1.31	0.07	0.09	0.85	0.53
Shrub shoot	<i>Calluna vulgaris</i>	(2)	1.38	0.07	0.09	0.34	0.06
Tree root large	<i>Quercus petraea</i>	(3)	0.5	0.06	0.2	0.4	0.08
Tree root small	<i>Q. petraea</i>	(3)	0.9	0.10	0.4	0.4	0.11
Sedge root	<i>E. vaginatum</i>	(2)	0.50	0.06	0.21	0.11	0.08
Outer bark	<i>Q. petraea</i>	(3)	0.5	0.17	0.08	0.5	0.03
Cambium	<i>Q. petraea</i>	(3)	0.9	0.08	0.4	1.3	0.15
Sapwood	<i>Q. petraea</i>	(3)	0.16	0.02	0.14	0.05	0.01
Inner heartwood	<i>Q. petraea</i>	(3)	0.10	0.01	0.06	0.06	0.01
Decomposers							
Fungus mycelium (on leaf)	<i>Mycena galopus</i>	(4)	3.60	0.24	0.57	—	—
Fungus fruit bodies (on leaf)	Mixed	(5)	—	0.68	2.90	0.07	0.07
Fungi (on leaf)	Mixed	(9)	2.80	0.24	0.12	3.30	0.19
Fungus mycelium (on wood)	<i>Stereum hirsutum</i>	(6)	1.34	0.09	0.41	0.79	0.10
Fungus fruit bodies (on wood)		(7)	1.87	0.33	0.88	0.07	0.12
Bacteria—culture	Range	(8)	8–15	2–6	1–2	1	1
Bacteria—leaves	Mixed	(9)	4.0	0.91	1.50	0.95	0.15
Oligochaeta	—	(3)	10.5	1.1	0.5	0.3	0.2
Diplopoda	—	(3)	5.8	1.9	0.5	14.0	0.2
Insecta	—	(3)	8.5	6.9	0.7	0.3	0.2
Detritivores		(10)	7.74	0.80	0.13	10.30	0.27
Fungivores		(10)	7.74	1.39	0.40	3.95	0.46

Pedobiologie: Rozklad organické hmoty – opadu z vegetace

Table 4.13. Egg production and moulting frequency of *Folsomia candida* on a diet of *Coriolus versicolor* grown at varying N levels (Booth & Anderson 1979).

No Food	Levels of nitrogen				Outkovka pestrá (<i>Trametes = Coriolus versicolor</i>)
	2 ppm	20 ppm	200 ppm	2000 ppm	
Egg laying rate eggs $\text{ind}^{-1} \text{wk}^{-1}$	1.6	9.9	14.3	28.4	6.5
Moultling rate $\text{exuviae ind}^{-1} \text{wk}^{-1}$	0.41	0.61	0.69	0.83	0.79



Table 4.14. Micronutrient element composition of decomposers compared with the resources on which they are growing ($\mu\text{g g}^{-1}$). (1) Cromack *et al.* (1975); (2) McBrayer *et al.* (1974); (3) Stark (1973).

	Na	Cu	Zn	Mn	Fe
Leaf litter (1)	3.6	17.3	67	858	17.3
Basidiocarps (1)	824	44	108	157	44
Insecta (2)	0.3	50	150	30	200
Isopoda (2)	0.3	50	130	40	—
Pine needles (3)	265	4.5	19.3	88	38
Rhizomorphs (3)	219–2400	244–34.2	39.2–213.0	88–193	669–6815

Pedobiologie: Rozklad organické hmoty – opadu z vegetace

Chutnost stromového opadu pro žížaly v závislosti na jeho obsahu taninů:

Table 4.15. Palatability of tree litters to earthworms in relation to their tannin content (Satchell & Lowe 1967).

Litter	Leaf discs eaten as % of controls	Unweathered			Weathered			Total	
		Tannins % dry wt.		Total	Tannins % dry wt.		Total		
		Condensed	Hydrolysable		Condensed	Hydrolysable			
Elm	362	0	0	0	358	0	0	0	
Alder	324	0	0	0	336	0	0	0	
Sycamore	298	0	0	0	386	0	0	0	
Birch	281	0.22	0.11	0.33	342	0	0	0	
Spindle	275	0	0.10	0.10	338	0	0	0	
Ash	260	0	1.22	1.22	279	0	0	0	
Lime	247	0.40	0.05	0.45	331	0	0	0	
Hazel	169	0.20	0.32	0.52	182	0	0	0	
Gean	143	0.63	0	0.63	234	0.02	0	0.02	
Beech	84	1.96	0.40	2.36	184	0.10	0	0.10	
Pine	44	1.81	1.38	3.19	74	0	0	0	
Larch	38	1.27	3.95	5.22	84	0	0	0	
Oak	21	0.88	0.45	1.33	173	0.05	0	0.05	

Pedobiologie: Rozklad organické hmoty – opadu z vegetace

Poměr C : N

Většina rostlinných pletiv: 40-80 : 1

Mikrobiální buňky a živočišné tkáně: 10 : 1

K akumulaci 11 g biomasy potřebuje populace mikroorganismů zabudovat 1 g N !

Je-li C dostupný v nadbytku (vstup látky s vysokým poměrem C:N) je přijímán dodatečný N (nepocházející z rozkládané látky) z prostředí, je-li dostupný.

Důsledek: veškerý N, který byl dostupný, je **imobilizován v mikrobiální biomase**. Dochází k inhibici růstu rostlin vlivem nedostatku N.

Pedobiologie: Rozklad organické hmoty – opadu z vegetace

Imobilizace dusíku

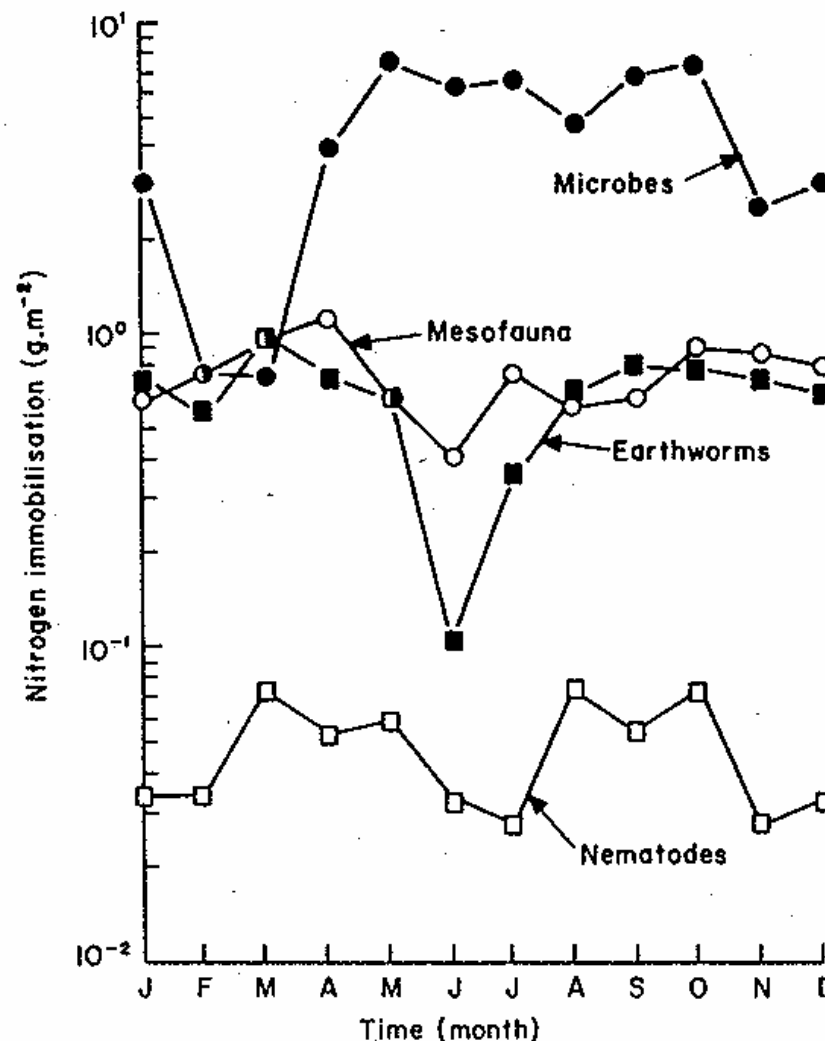


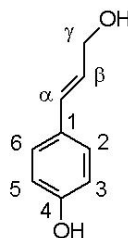
FIG. 3.15. Comparison of microbial nitrogen immobilisation with that of mesofaunal arthropods, earthworms, and nematodes. While microbial immobilisation is much greater than that of fauna, faunal immobilisation is much more constant through the year (after Ausmus, Edwards & Witkamp 1976).

Pedobiologie: Rozklad organické hmoty – opadu z vegetace

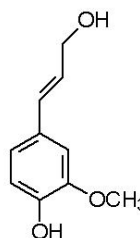
Dvě hlavní komponenty odumřelé fytomasy (listový opad, dřevitý odpad – „woody debris“) jsou

- celulóza a

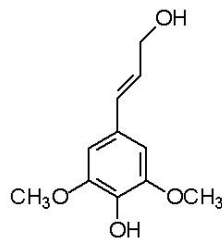
- lignin.



p-coumaryl alcohol

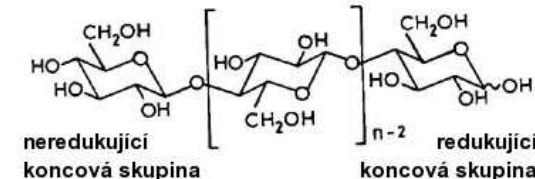


Coniferyl alcohol

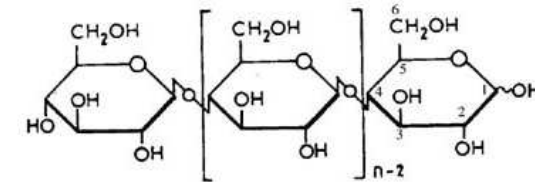


Sinapyl alcohol

prekuryzory ligninu



Někdy se kreslí následovně:



celulóza

Většina **živočišných konzumentů** (saprofágů = detritivorů) není schopna tyto sloučeniny využívat, protože jim **chybí potřebné enzymy**.

Celulázy byly nalezeny jen u několika fytofágů a saprofágů:

- několika měkkýšů (vč. *Helix pomatia*)
- larev některých dipter
- několika žížal.

Pedobiologie: Rozklad organické hmoty – opadu z vegetace

Proč živočichům tyto enzymy chybí?

Jak celulóza tak lignin mají **polymerní strukturu**, sestávají z C, H a O.

Dissimilací C získávají organismy energii.

Na rozdíl od živin jako N a P je C v potravních zdrojích hojným prvkem.

Aby získaly potřebné množství vzácnějších prvků, **pozřou** větší organismy **velké množství živé nebo mrtvé fytomasy** a

neinvestují do vysoké efektivity trávení těchto strukturálních komponent.

Pedobiologie: Rozklad organické hmoty – opadu z vegetace

Lépe rozložitelné rostlinné části, např. spadlé ovoce.

Jsou žrány mnohými polyfágy (= omnivory): druhy hmyzu, ptáků, savců.

Svébytná mikroflora (jako u každého typu zdroje), dominovaná **kvasinkami**.

Tyto kvasinky a jejich metabolické produkty jsou žrány specializovanými druhy octomilek (Diptera: Brachycera: ***Drosophila*** spp.).

Octomilky mají enzym alkoholdehydrogenázu, kterým rozkládají ethanol (jinak toxický).

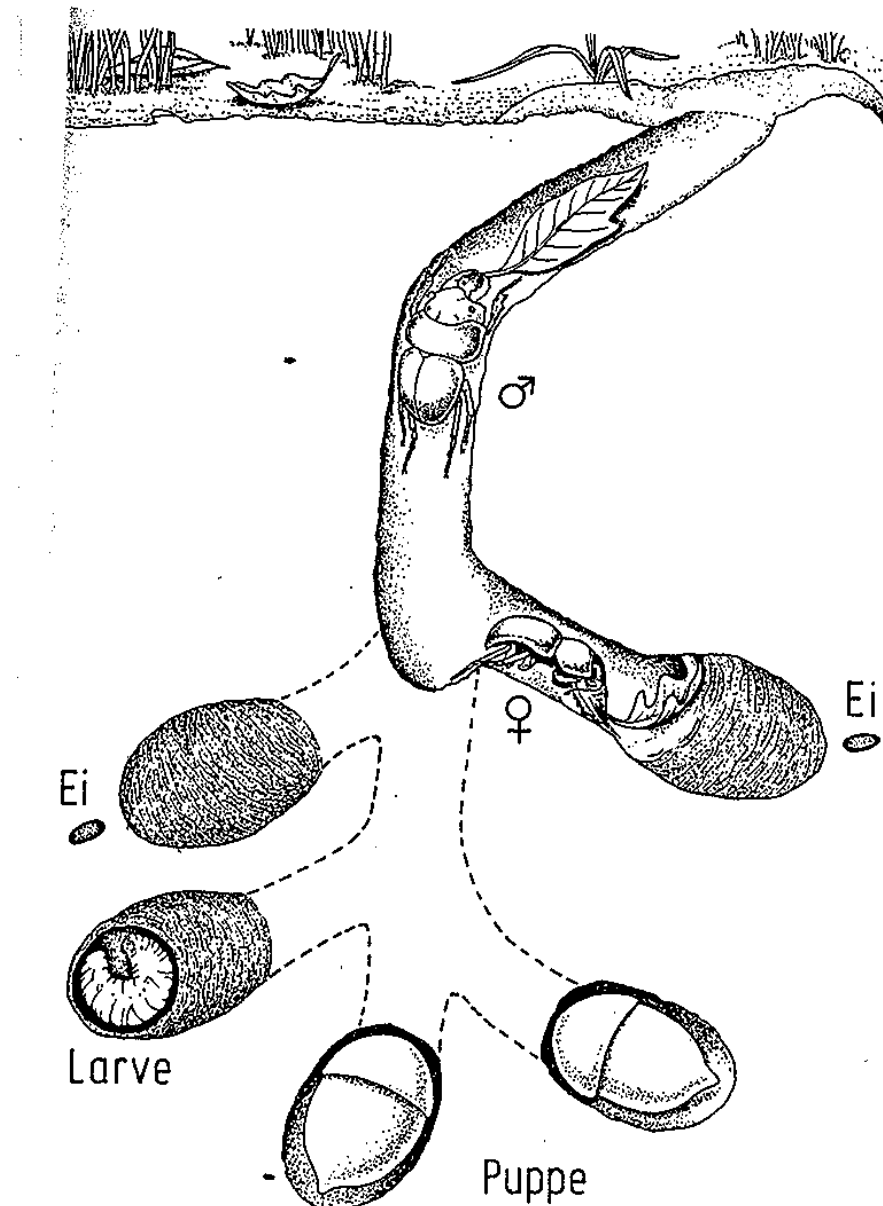
Jednotlivé druhy jsou specializované na jednotlivé druhy ovoce nebo zeleniny v rozkladu (během dekompozice tyto produkují různá množství alkoholu – méně zelenina, více ovoce).

Pedobiologie: Rozklad organické hmoty – opadu z vegetace



Chrobák révový (*Lethrus apterus*)
(Coleoptera: Scarabeidae s.l.):

Larva žere fermentované listy
vinné révy (*Vitis vinifera*).



Pedobiologie: Rozklad organické hmoty – dřeva

Různé cesty, kterými
je rozkládána celulóza:

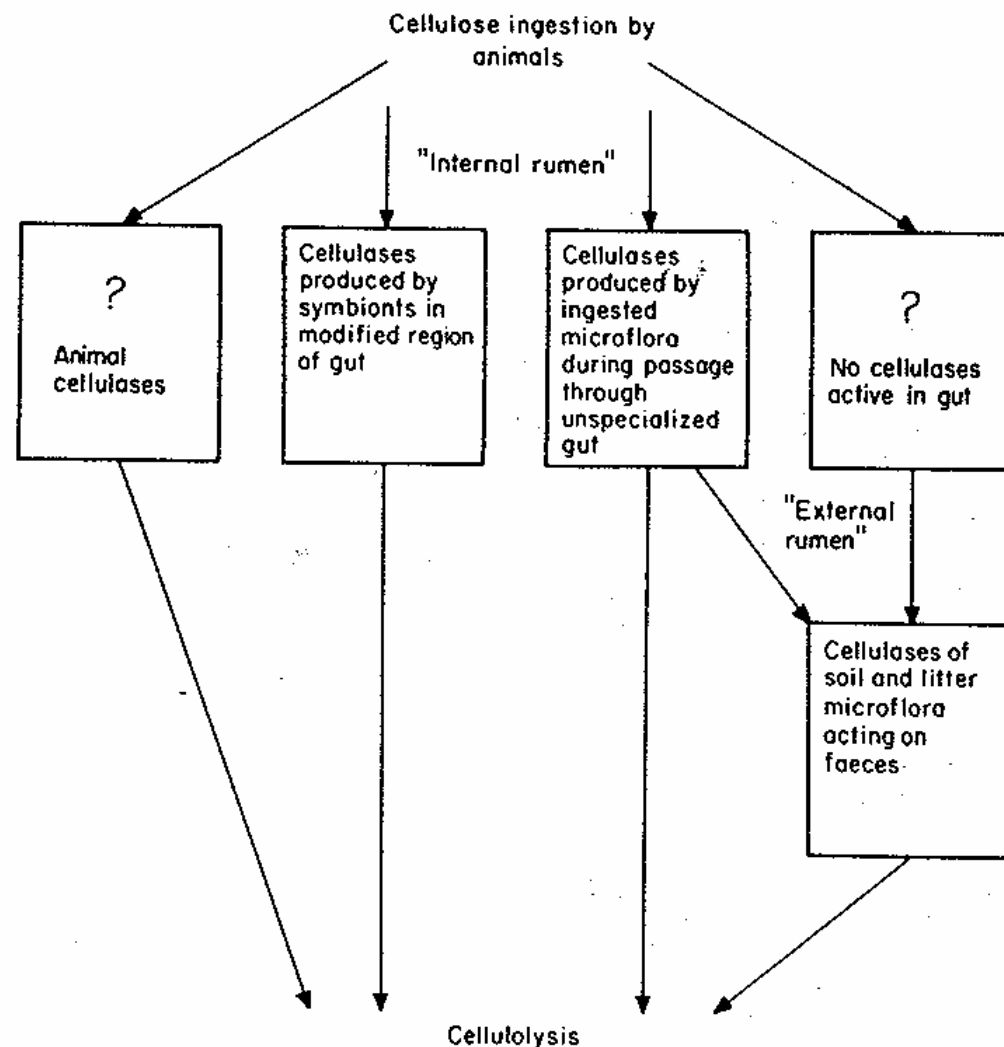


FIG. 3.12. The action and interaction of saprotrophic animals and micro-organisms in cellulose decomposition.

Pedobiologie: Rozklad organické hmoty – degradativní sukcese

Symbiotické vztahy – obligátní mutualismus:

Prvoci a bakterie v trávícím ústrojí primitivnějších termitů a švábů (také u koprofágálních brouků, např. Scarabidae, Geotrupidae).

Eutermes (Isoptera):

- prvoci v zadní části střeva (proctodeum – rozšířené na rektální kapsu),
- prvoci žerou malé částice dřeva,
- prvoci mohou tvořit až přes 60 % hmotnosti těla termita.

Obsah ve dřevě:

celulóza	55 %
pentosan	18 %
lignin	27 %

Obsah v trusu termitů:

18 %
8.5 %
75.5 %

Některí termiti tráví také lignin:

Zástupci rodu **Reticuloformes** snižují obsah ligninu o více než 80 %.

Pedobiologie: Rozklad organické hmoty – degradativní sukcese

Degradativní sukcese (Degradative succession)

Co to je sukcese?

- "A continuous process of change in vegetation which can be separated into a series of phases" (Tansley 1935)
- "The non-seasonal, directional and continuous pattern of colonization and extinction on a site by species populations" (Begon et al. 1990)
- "The directional change in vegetation during ecological time" (Krebs 1994)

Všechny definice jsou založeny na představě, že se sukcese liší od náhodných výkyvů ve struktuře společenstva; vývoj někam směruje.

Jako sukcese byly však popsány také cyklické změny ve společenstvech.

Sukcese představuje sled populací, které se navzájem nahrazují, což vede k změnám ve složení společenstva; tyto postupné změny mají svůj řád a jsou nazývány sérou (angl. **sere**), přičemž každé ze společenstev, které charakterizuje danou sukcesi, představuje určité serální stádium.

Pedobiologie: Rozklad organické hmoty – degradativní sukcese

Dva typy sukcese

Primární: sled druhů na nově vzniklých stanovištích, které do té doby nebyly ovlivňovány žádným společenstvem, např. nově vzniklé písečné duny, toky lávy, území obnažené po ústupu ledovců, nebo ostrov, který vznikl náhlým vynořením v důsledku sopečné činnosti.

Sekundární: sukcese na místech kde byla vegetace částečně či zcela odstraněna, kde však zůstala dobře vyvinutá půda včetně uložených semen a spór tak, že výsledný sled druhů je v zásadě důsledkem interakcí jako jsou konkurence a herbivorie, např. sukcese na opuštěném poli (úhoru).

Pedobiologie: Rozklad organické hmoty – degradativní sukcese

Klimaxové společenstvo

více méně trvalé a konečné stádium určité sukcese, často charakteristické pro dané (omezené) území.

Dvě teorie:

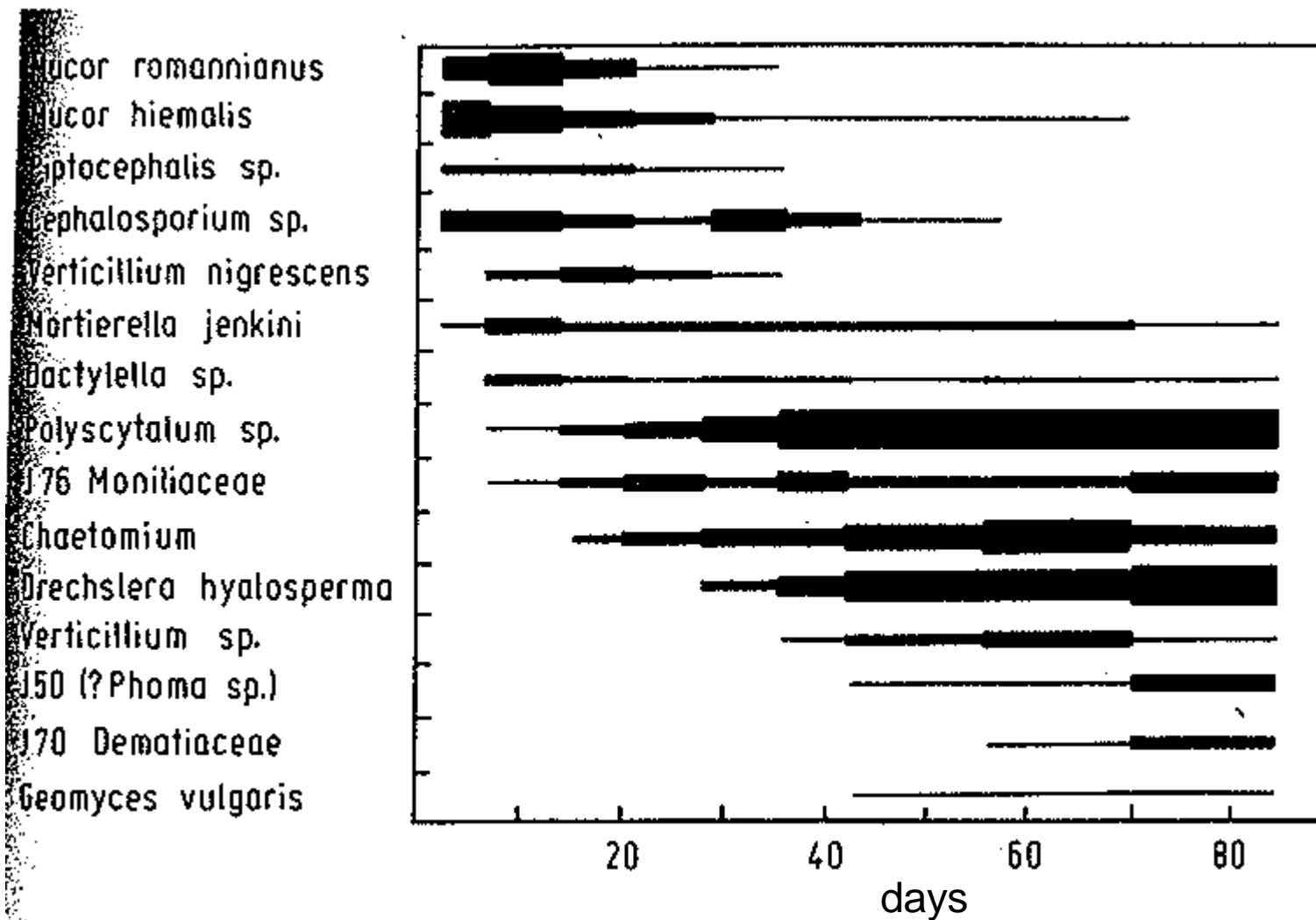
Monoklimax: Dle Clementse existuje pro každou klimatickou oblast jen jediný pravý klimax, který představuje konečné stádium všech sukcesí, nezávisle na jejich výchozím bodě; např. sukcese na písečných dunách, úhorech, zazemněných tůních apod. nakonec vedou ke stejnemu klimaxovému společenstvu.

Polyklimax – Gleason a Tansley došli k názoru, že lokální klimax může být důsledkem kombinace klimatu, půdních podmínek, topografie, výskytu požárů, atd. Jedna klimatická oblast tak může obsahovat více svébytných typů klimaxu.

Degradativní sukcese je sukcesí ve smyslu vývoje séry sukcesních stádií v závislosti na složení rozkládané látky, klimatu (makro i mikroklimatu, např. vlhkosti) a půdě/podloží (ale také na tom, který organismus zdroj kolonizuje jako první, což může ovlivnit celý průběh rozkladu i složení společenstev, které se na něm podílejí).

Nekončí však klimaxem ale vyčerpáním zdroje, tj. rozkládaného materiálu.

Pedobiologie: Rozklad organické hmoty – degradativní sukcese



Sukcese druh hub na trusu svinule rodu *Glomeris* (Diplopoda); výška značí zastoupení druhu ve společenstvu.

Pedobiologie: Rozklad organické hmoty – degradativní sukcese

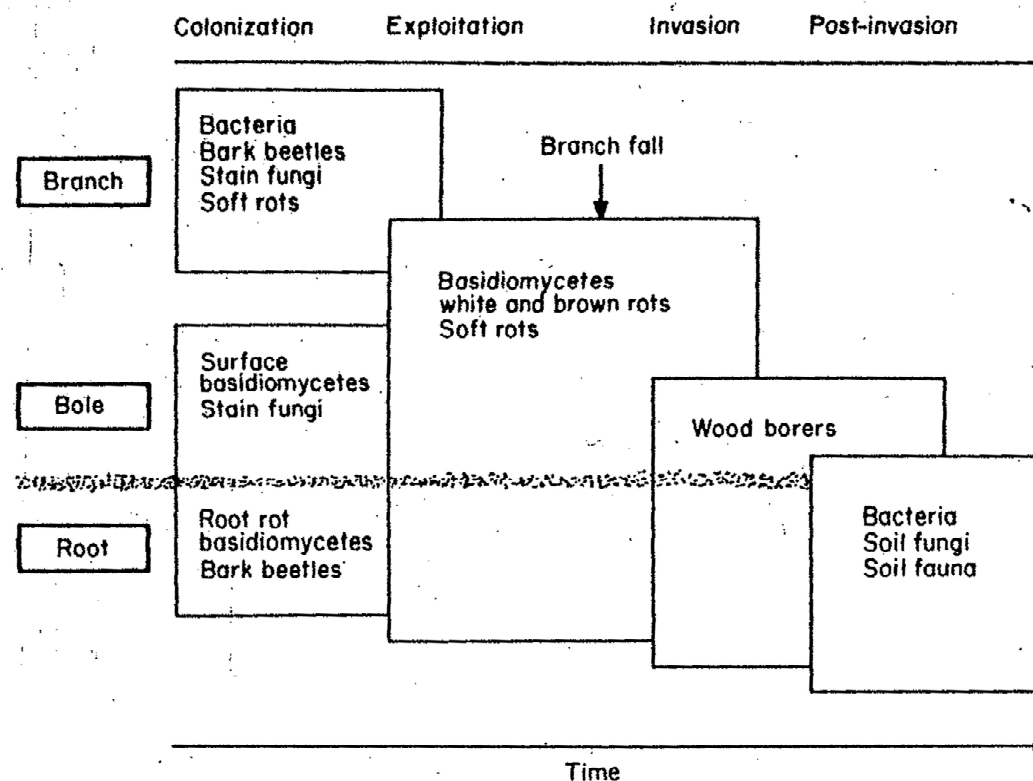


FIG. 4.16. Patterns of succession in decomposing branch and stump wood. The dominant organisms during the four major stages of the decomposition of 'typical' resources in a British woodland are indicated. The succession in any one branch or stump may differ markedly from the above pattern; some of the groups mentioned may never appear or entirely different ones dominate or the sequence may be substantially altered. Within this high degree of heterogeneity the above pattern is, however, the predominant one (from Swift 1977a).

Sukcese organismů na tlejícím dřevě větví a pařezů

Pedobiologie: Rozklad organické hmoty – dřeva

	Typ dřeva	Stupně rozkladu					Čas (roky)
	TOTHOLZ-FORM	I	II	III	IV	V	ZEIT-Bedarf I = 1
větvičky	FEIN-REISIG						> 10 J.
větve	ÄSTE						> 20 J.
kusy kmenů	STÄMMTEILE						> 30 J.
pahýly	HOCH-STUBBEN						> 50 J.
pařezy	HOLZERNT-E-STUBBEN						> 15 J.
části korun	KRÖNENTEILE						> 20 J.
kořenové koláče	WURZELTELLER						> 30 J.
celé stromy, ležící	ganze BÄUME liegend						> 80 J.
celé stromy, stojící	ganze BÄUME stehend						> 150 J.

Abb. 2: Totholzformen in Wirtschaftswäldern und deren Veränderung im Laufe der Zersetzung. Die Angaben des Zeitbedarfs geben grobe Richtwerte an, die je nach Standort, Baumart und Umwelteinflüssen stark variieren können.

Pedobiologie: Rozklad organické hmoty – dřeva

Sukcese společenstva hmyzu (zde Diptera) na tlejícím dřevu

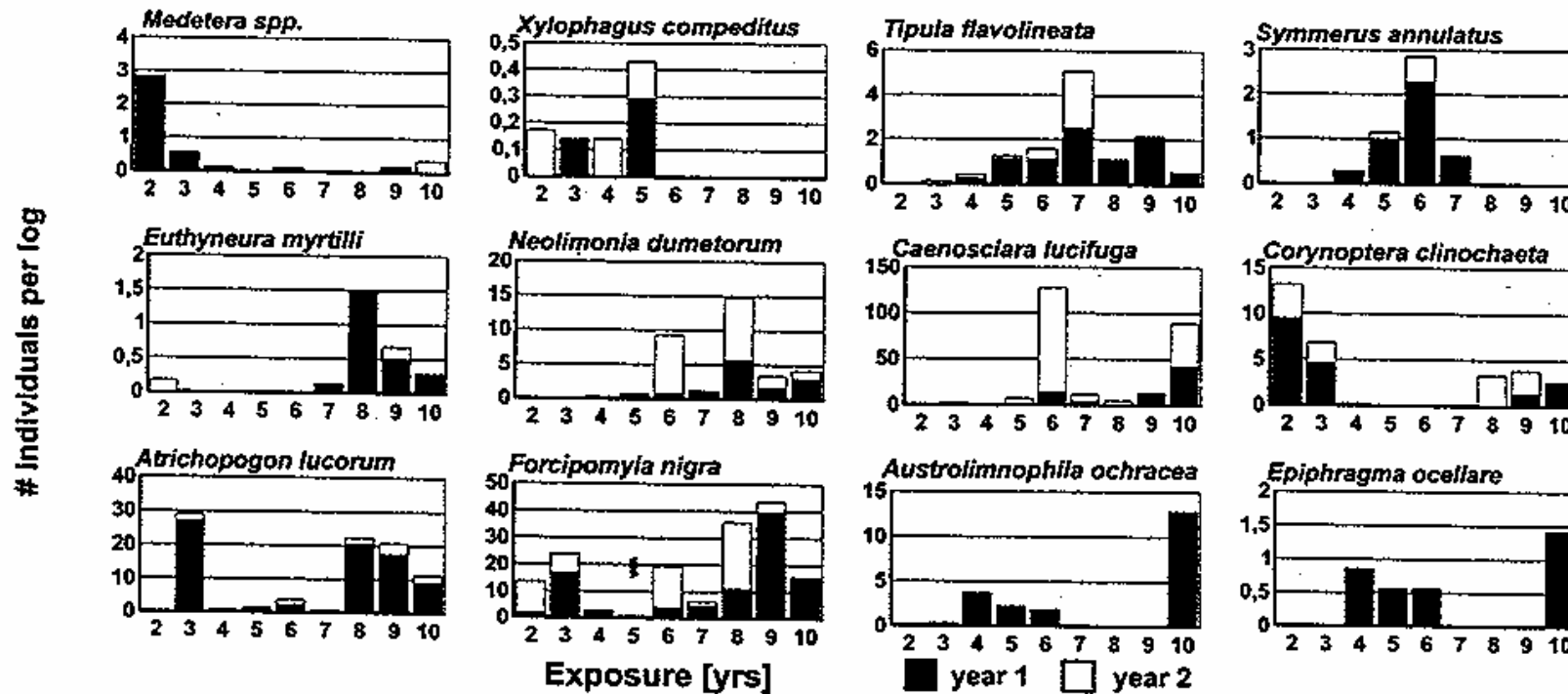


Fig. 3. Mean emergence abundances of selected dipteran species in the course of succession. Catches from "year 1" and "year 2" (see Materials and Methods) are indicated by different shadings

Průměrné abundance dvoukřídlých líhnoucích se ze silných bukových větví v kontaktu s půdou/listovým opadem v bučině na vápenci u Göttingenu, sev. Německo. Emergence byla sledována po dobu 10ti let (od umístění větví), na daném souboru (větvích uzavřených do fotoelektoru) vždy po dva na sebe následující roky.

Pedobiologie:

Rozklad organické hmoty – dřeva

Změny ve faktorech prostředí
 (= vlastnostech bukových větví)
 v průběhu času
 (ze stejné studie k sukcesi dvoukřídlých
 na bukovém dřevu jako na předcházející
 stránce).

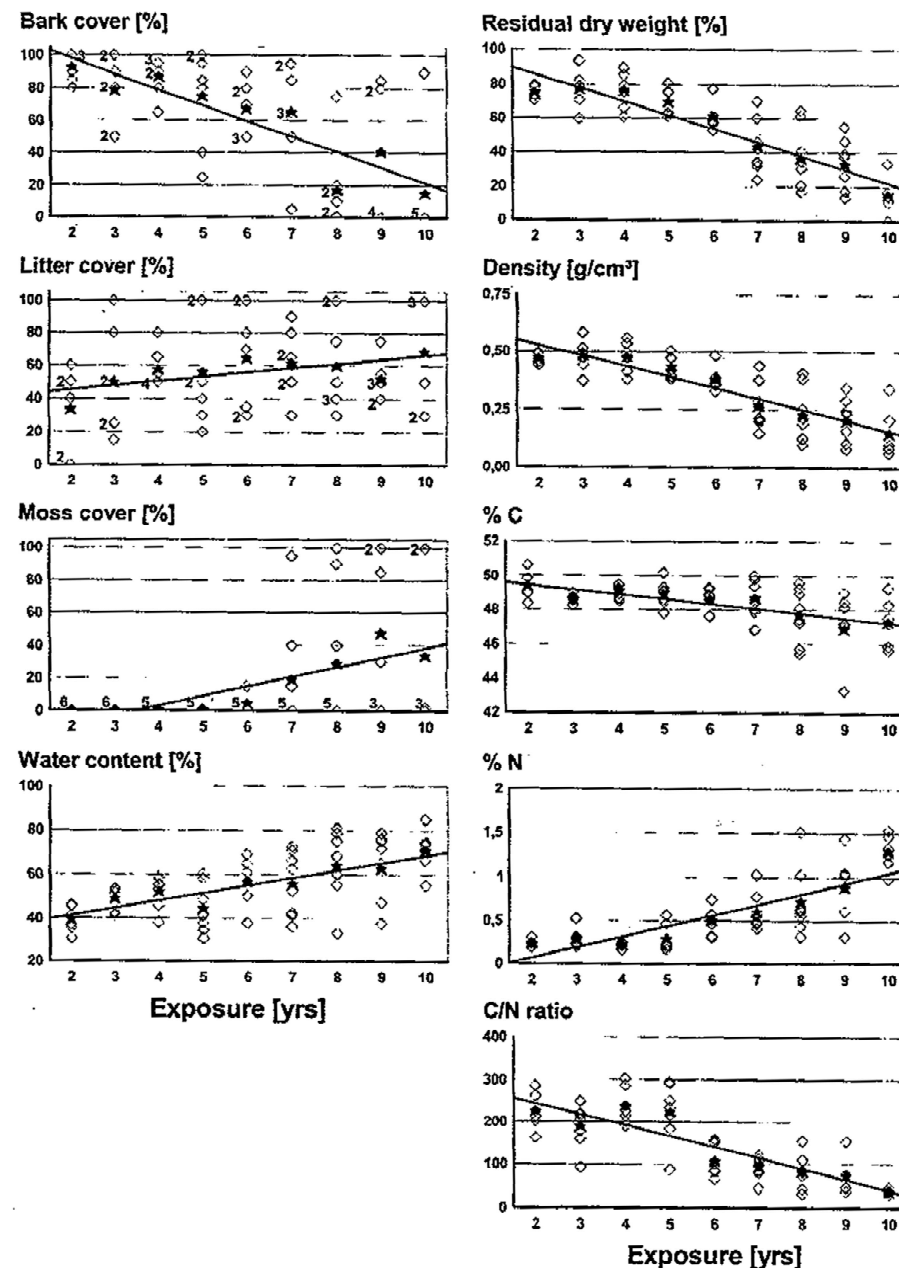


Fig. 2. Changes in environmental factors with time of exposure. Diamonds represent individual logs (identical values are indicated by numbers) and asterisks cohort means. Lines indicating trends are linear regressions for cohort means and significant ($p < 0.05$) in all cases excepting litter cover

Pedobiologie: Rozklad organické hmoty – dřeva

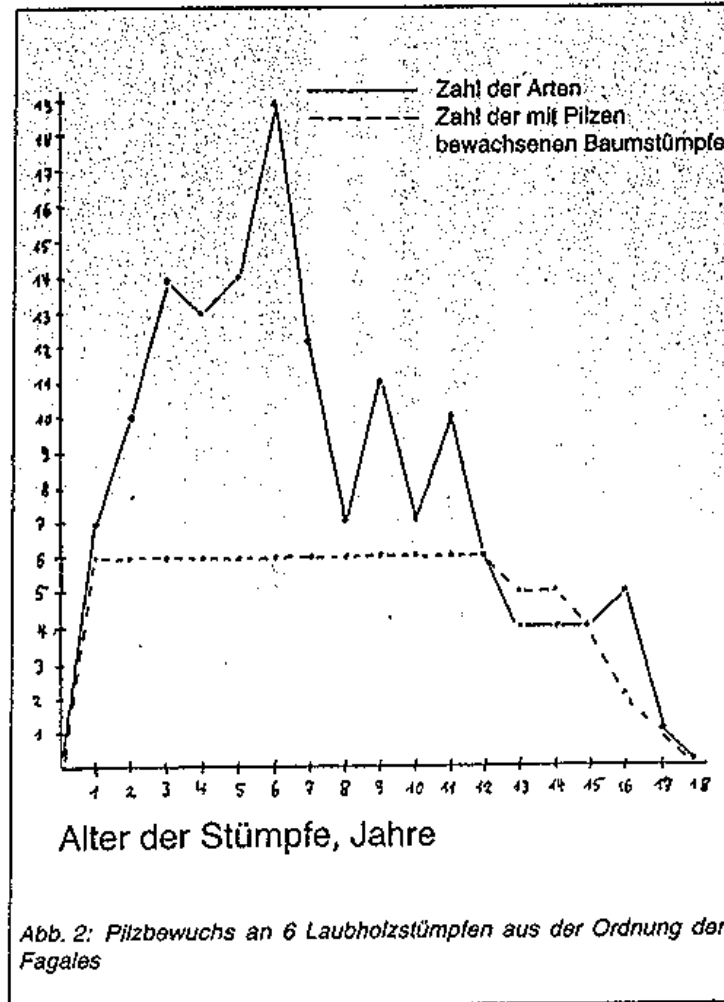


Abb. 2: Pilzbewuchs an 6 Laubholzstümpfen aus der Ordnung der Fagales

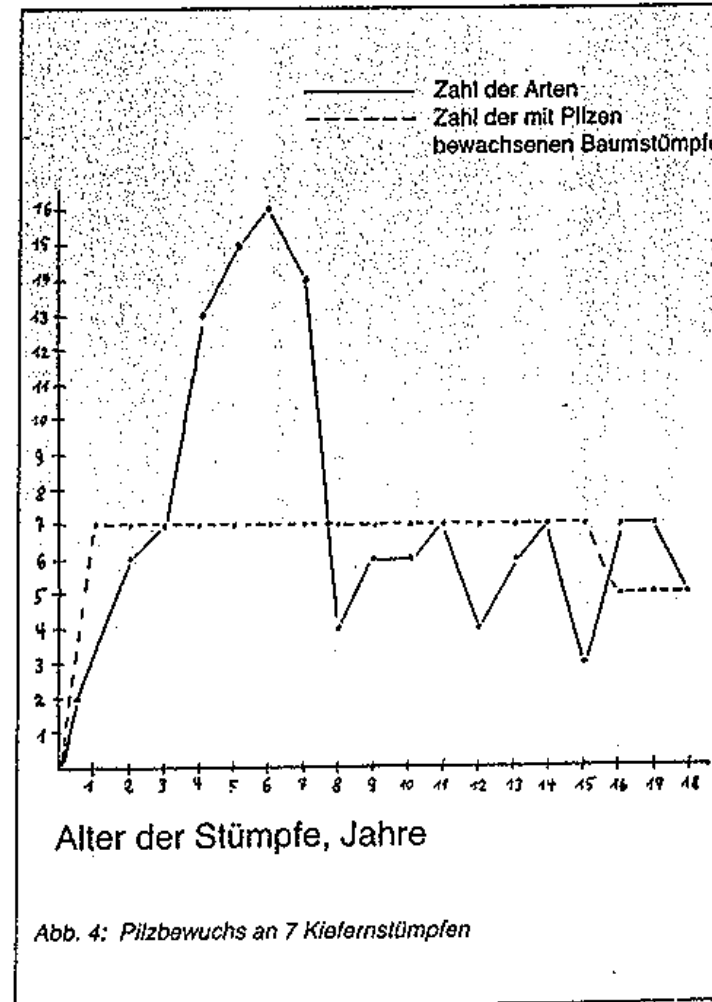


Abb. 4: Pilzbewuchs an 7 Kiefernstümpfen

Růst hub na pařezích (vlevo - 6 pařezů listnáčů z řádu Fagales, vpravo – 7 pařezů borovice; protažená čára – počet druhů, přerušovaná čára – počet pařezů osídlených houbami; osa x: stáří pařezů v ročích)

Rozklad organické hmoty – dřeva

Abb. 1: Pilzsukzession an Laubholzstümpfen auf Kahlschlägen

Initialphase: Beginn: 7–10 Monate nach dem Schlag
Dauer: 8–18 Monate

Buche „Tintenstrichpilz“ <i>Bispora monilioides</i>	Elche Zottiger Schichtpilz <i>Stereum hirsutum</i>	Birke, Erle u.a. Violetter Schichtpilz <i>Chondrostereum purpureum</i>
---	--	--

 Ablösender Rindenpilz (*Cylindrobasidium evolvens*)
Fleischroter Gallertbecher (*Ascocoryne sarcoides*)

Optimalphase: Beginn: 1½–2¼ Jahre nach dem Schlag
Dauer: (1–) 2–3½ (–5) Jahre

 Schmetterlingsporling (*Trametes versicolor*)
Birkenblättling (*Lenzites betulinus*)
Angebrannter Rauchporling (*Bjerkandera adusta*)
und mehrere andere Arten

Finalphase: Beginn: (3½–) 4¼–5½ Jahre nach dem Schlag
Dauer: 8–12 Jahre und länger

 Geweißförmige Holzkeule (*Xylaria hypoxylon*)
Vielgestaltige Holzkeule (*Xylaria polymorpha*)
Brandkrustenpilz (*Ustulina deusta*)
holzbewohnende Blätterpilze
bodenbewohnende Blätterpilze

Abb. 3: Pilzsukzession an Kiefernstümpfen auf Kahlschlägen

Initialphase: Beginn: 1–1½ Jahre nach dem Schlag
Dauer: (1½–) 2–3 (–4) Jahre

 Riesenkammpilz (*Phlebiopsis gigantea*)
Fleischroter Gallertbecher (*Ascocoryne sarcoides*)
Blutender Schichtpilz (*Stereum sanguinolentum*)
Violetter Lederporling (*Trichaptum abietinum*)

Optimalphase: Beginn: 3–5 Jahre nach dem Schlag
Dauer: 2–4 Jahre

 Blauender Saftporling (*Leptoporus caesius*)
Bitterer Saftporling (*Leptoporus sulphureus*)
Rötlicher Holzritterling (*Tricholomopsis rutilans*)
Graublättriger Schwefelkopf (*Hypholoma capnoides*)
Grünblättriger Schwefelkopf (*Hypholoma sublateritium*)
und einige andere Arten

Finalphase: Beginn: 7–8 Jahre nach dem Schlag
Dauer: 5–12 Jahre und länger

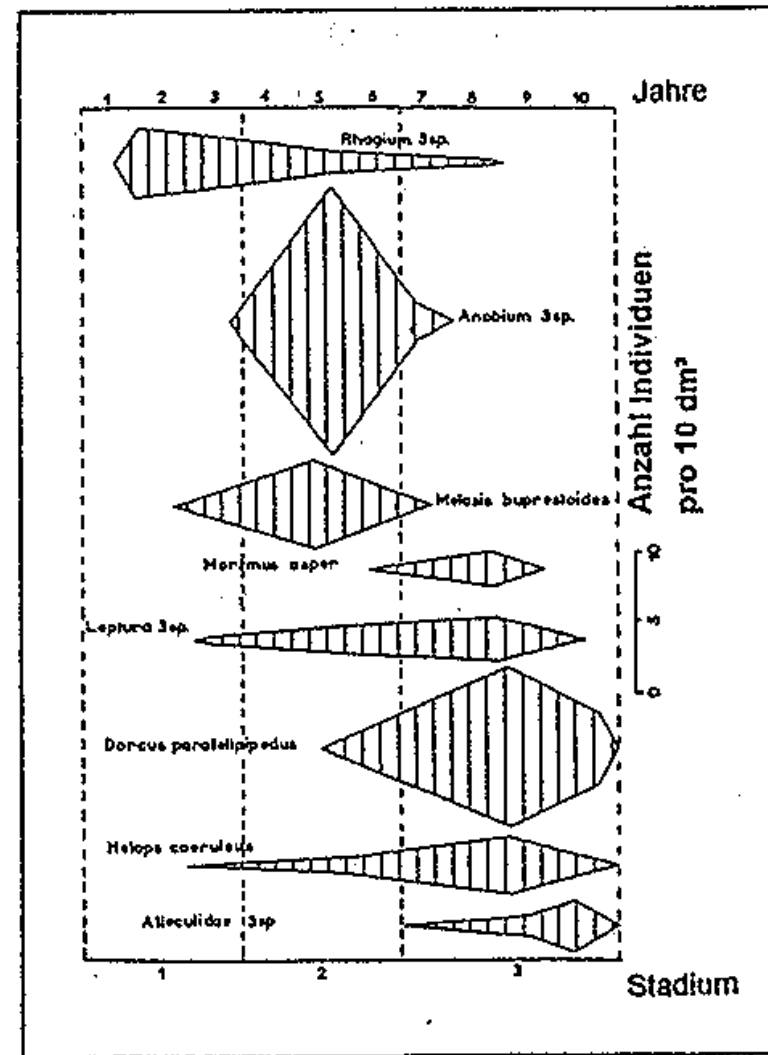
 Zitterzahn, Eispilz (*Tremellodon gelatinosum*)
Graublättriger Schwefelkopf (*Hypholoma capnoides*)
Grünblättriger Schwefelkopf (*Hypholoma sublateritium*)
Wurzelporling (*Heterobasidion annosum*)
Schleimpilze (*Myxomycetes*)
bodenbewohnende Blätterpilze

Sukcese hub na pařezích na lesních mýtinách: vlevo pařezy listnáčů, vpravo borové pařezy.

Pedobiologie: Rozklad organické hmoty – dřeva

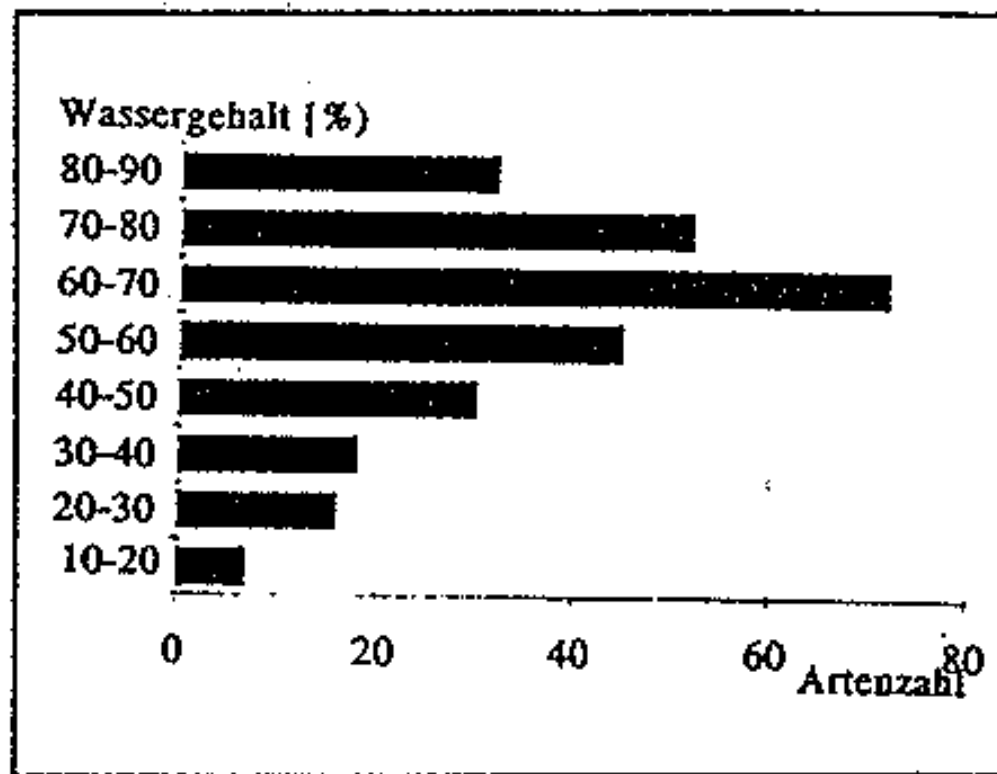
Stádium rozkladu	DERKSEN 1941	BRAUNS 1970
I	Scolytidae Colydidae	Borkenkäfer Rindenkäfer
II	Cerambycidae Lymexylonidae Elateridae	Bockkäfer Werftkäfer Schnellkäfer
III	Mordellidae Lucanidae Pyrochroidae	Stachelkäfer Hirschkäfer Feuerkäfer
IV	Mycetophagidae	Moder-, Humus-, Pilzfresser

Sukcese taxocenózy brouků v průběhu rozkladu dřeva podle Derksena (na buku) a Braunse (různé dřeviny)



Kvantitativní vývoj zastoupení dominantních druhů brouků v odumřelém bukovém dřevě v průběhu jeho rozkladu (podle Dajoz, 1966)

Pedobiologie: Rozklad organické hmoty – dřeva

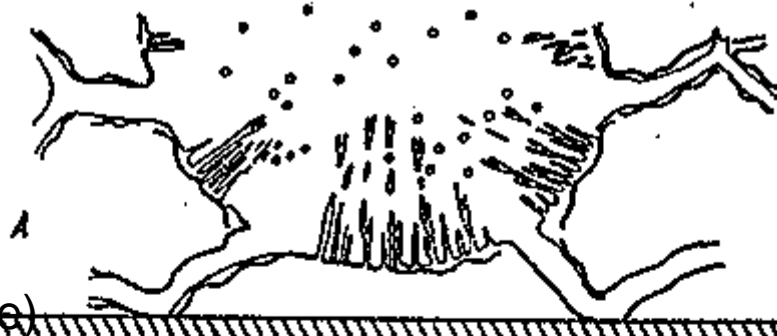


Poměr obsahu vody (%) a počtu druhů hmyzu
v tlejícím dřevě (podle Dajoz, 1966)

Pedobiologie: Rozklad organické hmoty – dřeva

Stádia rozkladu padlého kmene stromu v tropické Africe:

A – chodby larev tesaříků ve střední části, chodby jádrohlodovitých (*Platypodidae*) od obvodu do středu.



B – větve odpadlé, kůra odchlípená, stěny hmyzích chodeb pokryty bakteriemi a houbami; chodby termitů vedou od půdního povrchu do kmene

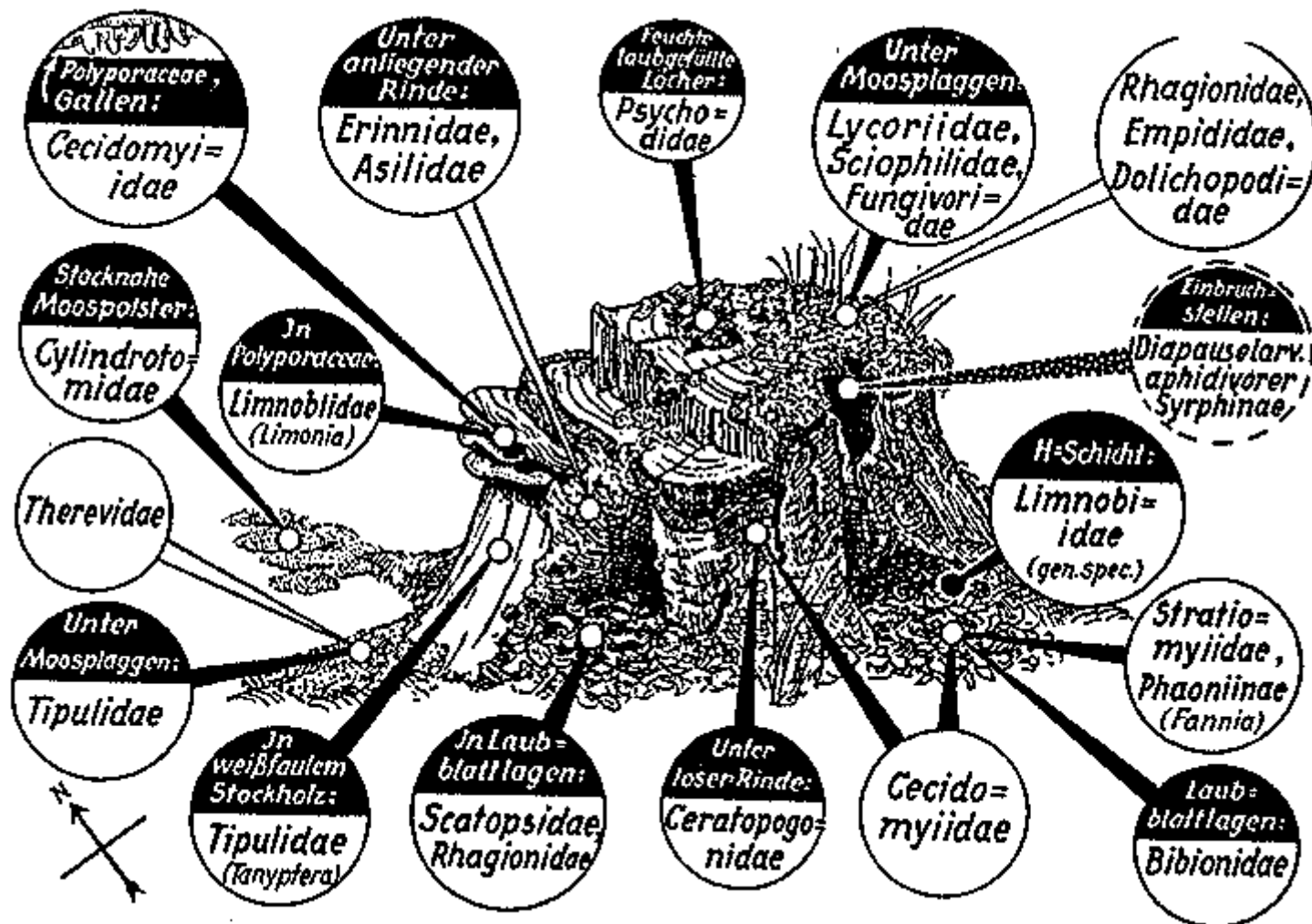


C – dřevo dále rozložené mikroorganismy; početné chodbičky termitů; postupné osídlení kroužkovci-opaskovci (žížalami) a další půdní faunou.



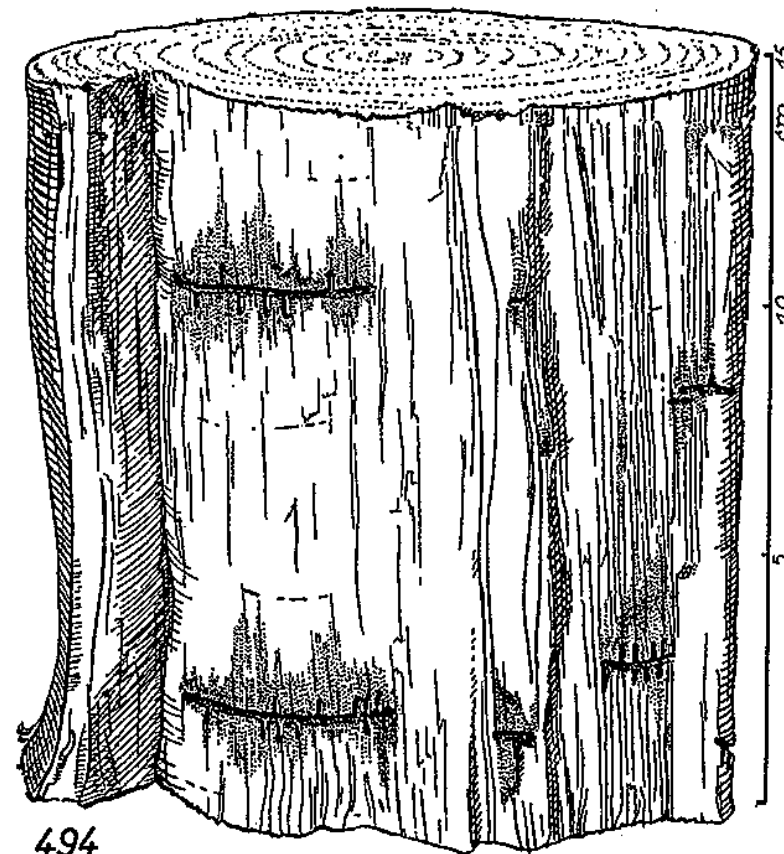
(podle Delamare-Deboutville, 1951 / Tischler, 1955)

Pedobiologie: Rozklad organické hmoty – dřeva



Výskyt nejčastějších terikolních larev dipter na 6-8 let starém bukovém pařezu

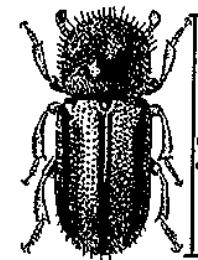
Pedobiologie: Rozklad organické hmoty – dřeva



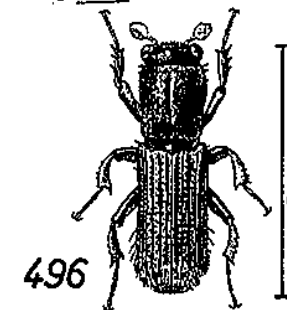
494

Xyloterus lineatus (Curculionidae:
Scolytinae) vlevo a *Platypus cylindrus*
(Curculionidae: Platypodinae) vpravo:
Segment smrkového kmene s matečnými
a larválními chodbami.

495



496



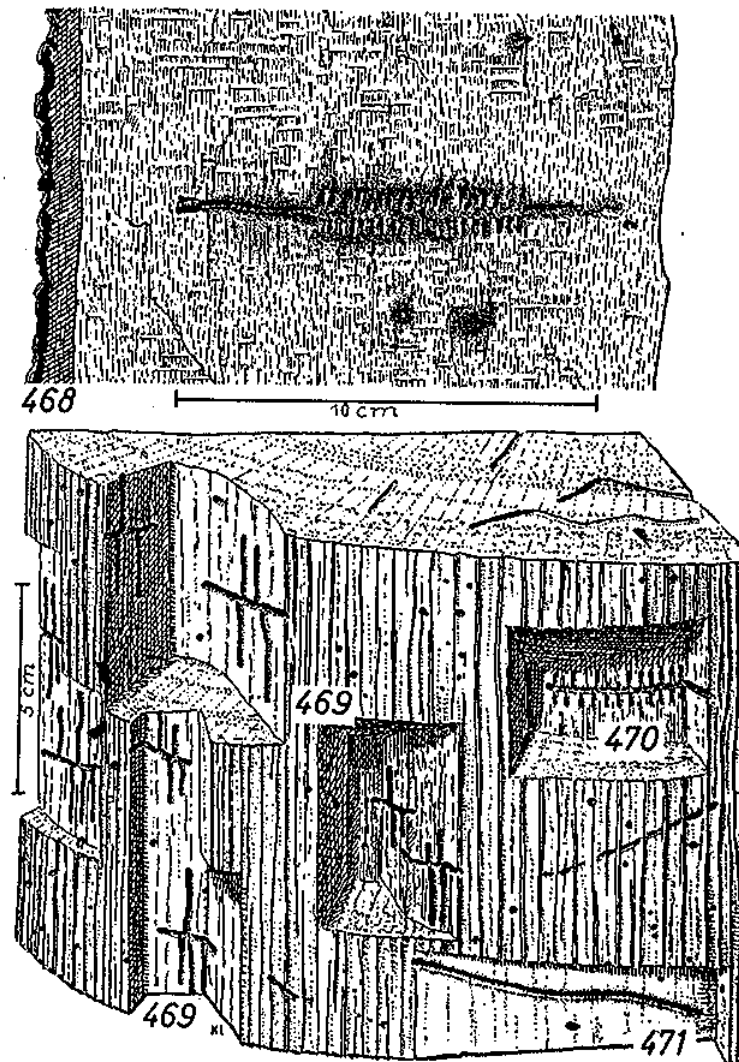
Rozklad organické hmoty – dřeva

Lignikolní brouci mohou využívat schopnost hub rozkládat dřevo.

Chodby ambrosiových brouků (mycetofágálních kůrovčů) v dřevě listáčů:

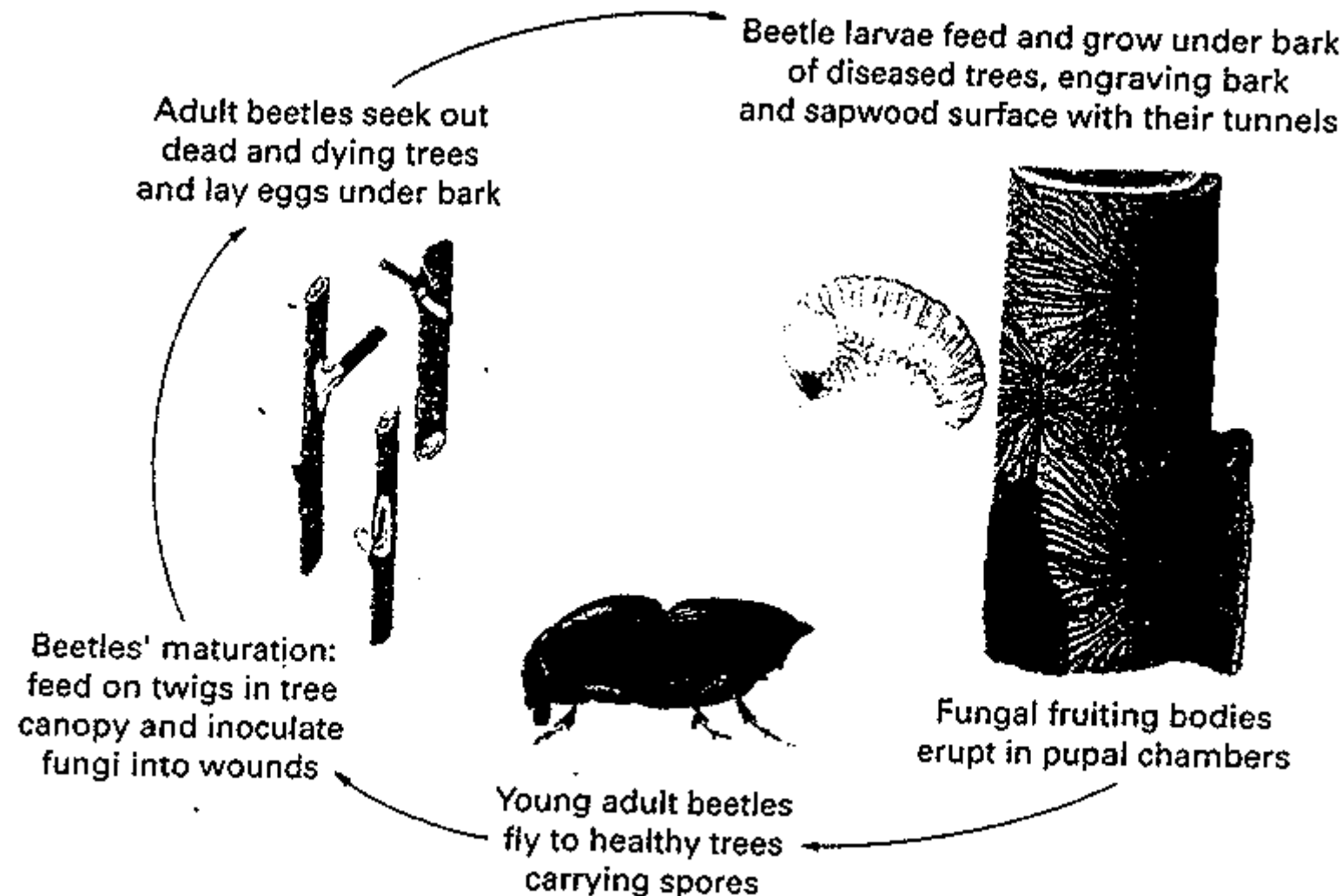
Nahoře (obr. 468) – matečné a larvální chodby kůrovce *Xyloterus domesticus*

Dole (obr. 471) – chodby (v různých hloubkách) kůrovce *Xyleborus dispar*.



Pedobiologie: Rozklad organické hmoty – dřeva

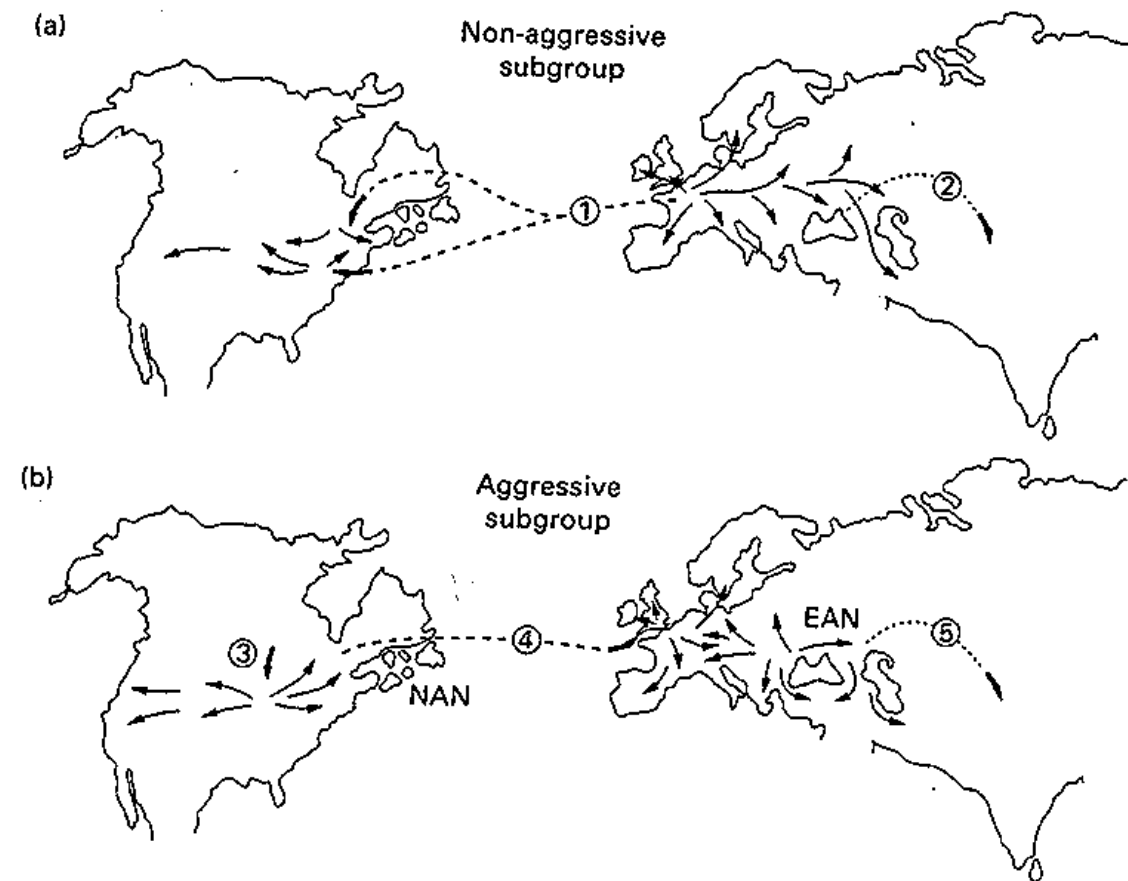
Xylo či floeofágni brouci mohou fungovat jako vektory houbových onemocnění dřevin:



Životní cyklus kůrovců rodu *Scolytus* (např. *S. intricatus*) asociovaných s houbou *Ophiostoma* (=*Ceratocystis*) *ulmi*, způsobující tzv. grafiozu jilmu.

Pedobiologie: Rozklad organické hmoty – dřeva

Fig. 9.9 Proposed pattern of spread of (a) the non-aggressive, and (b) the EAN and NAN aggressive subgroups of *O. ulmi* during the first and second epidemics of Dutch elm disease. Small arrows, overland spread; large arrows, major introductory events as follows. (1) Introduction of the non-aggressive subgroup from NW Europe to North America, c. 1920s. (2) Introduction of the non-aggressive subgroup from Krasnodor to Tashkent, c. late 1930s. (3) Introduction of a form close to the EAN aggressive subgroup into North America (Illinois area), c. 1940s, and its subsequent evolution into the NAN subgroup. (4) Introduction of the NAN subgroup from the Toronto area into the UK, c. 1960. (5) Introduction of the EAN subgroup into the Tashkent area, c. mid-1970s. (From Brasier 1990.)



Možný postup šíření *O. ulmi* během první a druhé epidemie tzv. grafiózy jilmu (trachomykóznímu onemocnění).